

Téoria do momento angular

[SAK 3.1]

- Rotações em torno de eixos diferentes não comutam. Veremos que as relações de comutação dos componentes do momento angular só conseguem dizer:
 - Vamos começar estudando ~~com~~ essa não-comutatividade das rotações.

Exemplos da não-comutatividade de rotações

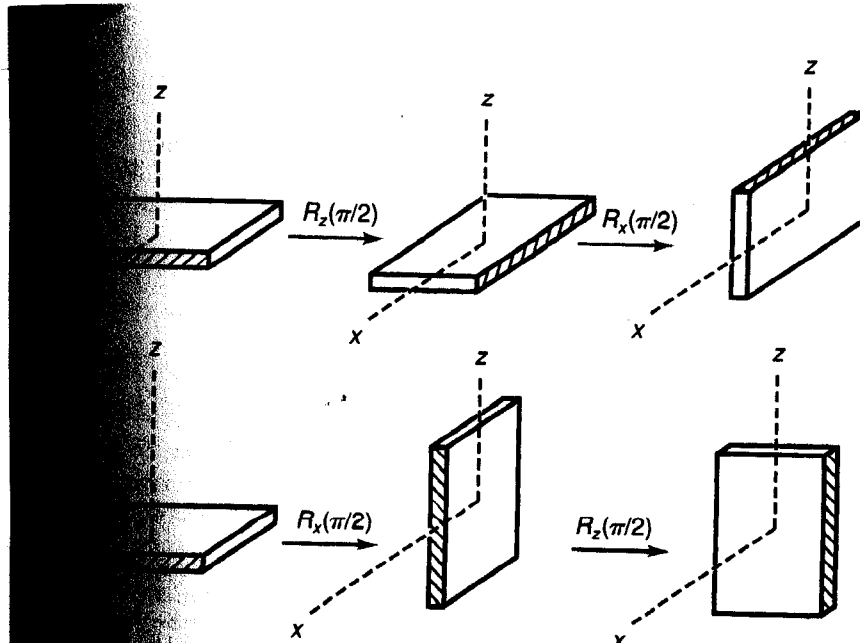


Fig. 3.1. Example to illustrate the noncommutativity of finite rotations.

Rotacões no espaço R₃

- Representadas por matrizes 3×3 reais e ortogonais: $RR^T = R^TR = \mathbb{1}$.
- Vectors se transformam assim:
- Matrizes ortogonais preservam a norma de \vec{v} .

$$\begin{pmatrix} v_x \\ v_y \\ v_z \end{pmatrix} = R \begin{pmatrix} v_x \\ v_y \\ v_z \end{pmatrix}$$

Rotacão de ϕ em torno de \hat{z}

- Sentido positivo = rica-rotação avançar na direção $\hat{z} > 0$.

$$R_z = \begin{pmatrix} \cos\phi & -\sin\phi & 0 \\ \sin\phi & \cos\phi & 0 \\ 0 & 0 & 1 \end{pmatrix} \quad R_y = \begin{pmatrix} \cos\phi & 0 & \sin\phi \\ 0 & 1 & 0 \\ -\sin\phi & 0 & \cos\phi \end{pmatrix} \quad R_x = \begin{pmatrix} 1 & 0 & 0 \\ 0 & \cos\phi & -\sin\phi \\ 0 & \sin\phi & \cos\phi \end{pmatrix}$$

Rotacões infinitesimais

- $\cos\phi \approx 1 - \frac{\epsilon^2}{2}$, $\sin\phi \approx \epsilon$ nas matrizes acima.

• (claram) ~~$R_x(\epsilon)R_y(\epsilon) - R_y(\epsilon)R_x(\epsilon)$~~ $= \begin{pmatrix} 0 & -\epsilon^2 & 0 \\ \epsilon^2 & 0 & 0 \\ 0 & 0 & 0 \end{pmatrix} = R_z(\epsilon^2) - \mathbb{1}$

\Rightarrow Rotacões infinitesimais em termos de eixos diferentes compartem até ordem ϵ .

\Rightarrow Não compartem até ordem ϵ^2 .

(ignorando termos de ordem ϵ^2).

ROTAÇÕES INFINITESIMIS NA MQ

- O estado (ket) descreve um sist. quântico na mudança de rotação.
- Dado um op. de rotação R (= matriz ortogonal, 3×3), procuramos um op. unitário $D(R)$ no espaço \mathcal{H} tal que

$$(Id)_R = D(R)|\alpha\rangle$$

\in Rodado \in Original

- Repare que a mesma rotação R compõe a série op. unitários $D(R)$, correspondentes ao círculo de spin $\frac{1}{2} \rightarrow D(R) \times$ matrizes 2×2

$$\text{spin } 1 \rightarrow D(R) \quad 3 \times 3$$

- Também existem dois operadores unitários infinitesimais com forma $U_i = 1 - i \frac{\epsilon}{\hbar} G_i$

Translação: $G = \frac{p_x}{\hbar} \quad \epsilon = dx$

rotação temporal: $G = \frac{i}{\hbar} \quad \epsilon = dt$

\Rightarrow Definimos o op. de momento angular J_K tal que $\stackrel{\omega}{G} = \frac{J_K}{\hbar} \quad \epsilon \rightarrow d\phi$,

(*) $D(R_K, \epsilon) = 1 - i \frac{J_K \epsilon}{\hbar}$ denume rotação infinitesimal em torno de x_K por ângulo $d\phi$.

• De forma mais geral: $D(\hat{n}, d\phi) = 1 - i \left(\frac{\hat{J} \cdot \hat{n}}{\hbar} \right) d\phi$ = op. de rotação infinit. $d\phi$ em torno de \hat{n} .

• A partir desse op. infinitesimal, encontramos o op. de rotações finitas:

$$D_z(\phi) = \lim_{N \rightarrow \infty} \left(1 - i \frac{J_z \frac{\phi}{N}}{\hbar} \right)^N = \exp \left(-i \frac{J_z \phi}{\hbar} \right) = 1 - \frac{i J_z \phi}{\hbar} - \frac{J_z^2 \phi^2}{2 \hbar^2} + \dots$$

- Matrizes de rotas R formam um grupo. Portanto que D(R) também logo deve ter as propriedades:

- Identidade: $R \cdot I = R$ $D(R) \cdot I = D(R)$

- Fechamento: $R_1 R_2 = R_3$ $D(R_1) D(R_2) = D(R_3)$

- Inverso: $R R^{-1} = I$ $D(R) D'(R) = I$
 $R' R = I$ $D'(R) D(R) = I$

- Associatividade: $R_1 (R_2 R_3) = (R_1 R_2) R_3 = R_1 R_2 R_3$

$D_1 (D_2 D_3) = (D_1 D_2) D_3 = D_1 D_2 D_3$

- Vamos agora analisar ação as relações de comutação pl JK:

Se que $R_x(s) R_y(s) - R_y(s) R_x(s) = R_z(s^2) - \frac{1}{s^2}$ de A rotas equivalentes pl Dis

$$\left(1 - \frac{iJ_x\varepsilon}{\hbar} - \frac{J_x^2\varepsilon^2}{2\hbar^2}\right) \left(1 - \frac{iJ_y\varepsilon}{\hbar} - \frac{J_y^2\varepsilon^2}{2\hbar^2}\right)$$

$$- \left(1 - \frac{iJ_y\varepsilon}{\hbar} - \frac{J_y^2\varepsilon^2}{2\hbar^2}\right) \left(1 - \frac{iJ_x\varepsilon}{\hbar} - \frac{J_x^2\varepsilon^2}{2\hbar^2}\right) = 1 - \frac{iJ_z\varepsilon^2}{\hbar} - 1$$

- Igualando os termos de orden ε^2 nos 2 lados da equação obtemos

$$[J_x, J_y] = i\hbar J_z$$

Repetindo o argumento pl outros eixos $[J_i, J_j] = i\hbar \epsilon_{ijk} J_k$

= relações de comutação fundamentais pl o momento angular.

- Só veremos que
 - ① J_K é o quadro de rotas em torno do eixo K.
 - ② Relações em torno de eixos diferentes não comutam.

ROTACÕES DE SPIN $\frac{1}{2}$

- Já encontramos os operadores que representam S_x, S_y e S_z de spin $\frac{1}{2}$:

$$S_x = \frac{\hbar}{2} (|+\rangle\langle +| - |-\rangle\langle -|)$$

Na base $\{|+\rangle, |-\rangle\}$ de S_z :

$$S_y = \frac{i\hbar}{2} (-|+\rangle\langle +| + |- \rangle\langle -|)$$

$$S_x = \frac{\hbar}{2} \begin{pmatrix} 0 & 1 \\ 1 & 0 \end{pmatrix} \quad S_y = \frac{i\hbar}{2} \begin{pmatrix} 0 & -i \\ i & 0 \end{pmatrix}$$

$$S_z = \frac{\hbar}{2} (|+\rangle\langle +| - |- \rangle\langle -|)$$

$$S_z = \frac{\hbar}{2} \begin{pmatrix} 1 & 0 \\ 0 & -1 \end{pmatrix}$$

- Vamos rodar $|+\rangle$ por âng. ϕ em torno do eixo z:



$$D_z(\phi) |+\rangle = \exp\left(-i \frac{S_z \phi}{\hbar}\right) |+\rangle$$

- Verificando o efeito sobre $\langle S_x \rangle$:

$$\langle S_x \rangle \rightarrow \langle \alpha | S_x | \alpha \rangle_R = \langle \alpha | \underbrace{D_z^+(\phi) S_x D_z(\phi)}_{D_z(\phi)} | \alpha \rangle$$

$$\left[\exp\left(i \frac{S_z \phi}{\hbar}\right) S_x \exp\left(-i \frac{S_z \phi}{\hbar}\right) \right] \rightarrow \text{Vamos calcular}$$

de 2 formas.

$$\textcircled{1} \quad \frac{\hbar}{2} \exp\left(i \frac{S_z \phi}{\hbar}\right) (|+\rangle\langle +| + |- \rangle\langle -|) \exp\left(-i \frac{S_z \phi}{\hbar}\right)$$

$$\begin{aligned} \text{Note: } S_z |+\rangle &= \frac{\hbar}{2} |+\rangle \Rightarrow \exp\left(i \frac{S_z \phi}{\hbar}\right) |+\rangle = \left(1 + i \frac{S_z \phi}{\hbar} + \frac{i^2 S_z^2 \phi^2}{\hbar^2} + \dots\right) |+\rangle \\ &= \left(1 + \frac{i\phi}{\hbar} \cdot \frac{\hbar}{2} + \frac{i^2 \phi^2}{\hbar^2} \cdot \frac{(\hbar)^2}{2} + \dots\right) |+\rangle \\ &= \left(1 + i \frac{\phi}{2} + \left(\frac{i\phi}{2}\right)^2 + \dots\right) |+\rangle = e^{i\frac{\phi}{2}} |+\rangle \end{aligned}$$

$$\text{Simultaneamente: } \langle - | e^{-i \frac{S_z \phi}{\hbar}} = \langle - | e^{i \frac{\phi}{2}}$$

$$\hookrightarrow = \frac{\hbar}{2} \left(e^{i\frac{\phi}{2}} |+\rangle\langle +| e^{-i\frac{\phi}{2}} + e^{-i\frac{\phi}{2}} |-\rangle\langle -| e^{i\frac{\phi}{2}} \right) =$$

$$\langle - | e^{i \frac{\phi}{2}} (|+\rangle\langle +| + |- \rangle\langle -|) e^{-i \frac{\phi}{2}} = \frac{\hbar}{2} \left[(|+\rangle\langle +| + |- \rangle\langle -|) \cos\phi + i (|+\rangle\langle +| - |- \rangle\langle -|) \sin\phi \right]$$

$$= S_x \cos\phi - S_y \sin\phi$$

- II) Usu Ruten-Hamilton: (\hat{G} Hermitian, \hat{A} real)

$$\exp(i\hat{G}\tau) A \exp(-i\hat{G}\tau) = A + i\hat{G}[G, A] + \frac{i^2 \tau^2}{2!} [G, [G, A]] + \dots + \frac{i^n \tau^n}{n!} [G, [G, [G, \dots [G, A]]]]$$

$$\begin{aligned} e^{\frac{iS_x\phi}{\hbar}} S_x e^{-\frac{iS_y\phi}{\hbar}} &= S_x + \underbrace{\frac{i\phi}{\hbar} [S_y, S_x]}_{i\hbar S_y} + \underbrace{\frac{1}{2!} \left(\frac{i\phi}{\hbar}\right)^2 [S_y, [S_y, S_x]]}_{i\hbar^2 S_y} + \\ &\quad + \underbrace{\frac{1}{3!} \left(\frac{i\phi}{\hbar}\right)^3 [S_y, [S_y, [S_y, S_x]]]}_{i\hbar^3 S_y} + \dots \\ &= S_x \left[1 - \frac{\phi^2}{2!} + \dots \right] - S_y \left[\phi - \frac{\phi^3}{3!} + \dots \right] = \boxed{S_x \cos \phi - S_y \sin \phi} \end{aligned}$$

Note que o método II usa a representação explícita de S_i , não as regras de comutação, logo pode ser usado em rot. ~~com~~ com momentos angulares $> \frac{1}{2}$.

- Temos ent. $\langle S_x \rangle \rightarrow \langle \lambda | S_x | \lambda \rangle_R = \langle S_x \rangle_{\text{rot}} \phi - \langle S_y \rangle_{\text{rot}} \phi$

A forma similar: $\langle S_y \rangle \longrightarrow \langle S_y \rangle_{\text{rot}} \phi + \langle S_x \rangle_{\text{rot}} \phi$

$$\langle S_z \rangle \rightarrow \langle S_z \rangle \quad (\text{pós } [S_z, \partial_\phi(\phi)] = 0).$$

\Rightarrow os valores esperados são rotados de ϕ em termo de \tilde{z} , como esperado.

- De maneira mais geral, sp. de momento angular (pl qq. 21) satisfazem:

$$\langle J_K \rangle \rightarrow \sum_x R_{Kx} \langle J_x \rangle$$

\nwarrow matriz de rotação

- Vamos agora examinar o efeito de rotacões em \hat{z} sobre estados quantiais de spin $\frac{1}{2}$: $|z\rangle = |+\rangle \langle +|z\rangle + |-\rangle \langle -|z\rangle$

$$e^{-\frac{iS_zt}{\hbar}}|z\rangle = e^{-\frac{i\phi}{2}}|+\rangle + e^{i\phi}|-\rangle$$

- Se fizermos rotacões de 2π : $|z\rangle \rightarrow -|z\rangle$!

$$4\pi: |z\rangle \rightarrow |z\rangle \text{ de novo.}$$

Esses efeitos estranhos têm consequências observáveis.

Precessão de spin $\frac{1}{2}$ como rotação

- Campo $\vec{B} = B\hat{z}$. $H = -\frac{e}{mc} \vec{S} \cdot \vec{B} = \omega S_z$ com $\omega = \frac{eB}{mc}$

- O operador de evolução temporal é: $U(t,0) = \exp(-\frac{iHt}{\hbar}) = \exp(-\frac{iS_z\omega t}{\hbar})$
ou seja, é igual ao op. de rotações em torno de \hat{z} ~~de ângulo~~ $\phi = \omega t$.

$$\Rightarrow \begin{cases} \langle S_x \rangle_t = \langle S_x \rangle_{t=0} \cos \omega t - \langle S_y \rangle_{t=0} \sin \omega t \\ \langle S_y \rangle_t = \langle S_y \rangle_{t=0} \cos \omega t + \langle S_x \rangle_{t=0} \sin \omega t \\ \langle S_z \rangle_t = \langle S_z \rangle_0 \end{cases}$$

$$\left\{ \begin{array}{l} \text{Depois de } t = \frac{2\pi}{\omega}, \text{ o spin dará 1 volta} \\ t = \frac{4\pi}{\omega}, \text{ o spin volta ao estado inicial.} \end{array} \right.$$

- Experimentos que obtiveram esse efeito foram feitos (1975 - RANKIN et al.)
Werner et al.
 [Feixe de átomos é dividido, um sub-feixe permanece e outro não; a diferença de fase resulta em interferência quando feixes são recombinados.]